

























Técnica	Capacitância Efetiva	Atraso da Interconexão	Degradação do Slew
Elmore Delay (ELMORE, 1948)			
D2M (Alpert et. al., 2000)			
PERI (Kashyap et. al., 2002)			
S2M (Agarwal et. al., 2004)			
AWE (PILLAGE; ROH RER, 1990)			
PRIMA (ODABASIOGLU; CELIK; PILEGGI, 1997)			
ECM (KASHYAP; ALPERT; DEVGAN, 2000)			
PURI (PURI; KUNG; DRUMM, 2002)			

{
Kahng et. al. (2013)